

تعیین سطح لغزش بحرانی در شیروانی‌های خاکی با استفاده از روش تغییرات بیشترین شیب محلی*

محمد حاجی عزیز (۱)

فرشاد حیدری (۲)

چکیده یافتن سطح لغزش بحرانی یکی از موضوعات مهم در تحلیل پایداری شیب‌هاست. شکل سطح لغزش در بسیاری از روش‌ها به صورت دایره‌ای در نظر گرفته می‌شود که دلیل عمده این فرض ایجاد سهولت در انجام محاسبات می‌باشد. روش‌های بهینه‌سازی نیز یکی از روش‌های مناسب برای یافتن سطح لغزش بحرانی می‌باشند. در این مقاله با استفاده از روش بهینه‌سازی غیرخطی، سطح لغزش بحرانی غیردایره‌ای به دست می‌آید. در این راستا برنامه‌ای به زبان فرترن نوشته شده است که قادر است بحرانی‌ترین سطح لغزش دایره‌ای را با استفاده از روش جستجوی شبکه‌ای و بحرانی‌ترین سطح لغزش غیردایره‌ای (پاره‌خطی) را با استفاده از روش بیشترین شیب محلی پیدا نماید. نتایج حاصل از این پژوهش و ادبیات مربوط به این موضوع نشان می‌دهد که سطح لغزش غیردایره‌ای می‌تواند تا ۱۲ درصد نسبت به دیگر نتایج مقادیر ضریب اطمینان کمتری به دست آورد. حل چند مثال کاربردی و صحت روش پیشنهاد شده را نشان می‌دهد.

واژه‌های کلیدی تحلیل پایداری، تعادل حدی، شیب‌های خاکی، سطح لغزش بحرانی، بیشترین شیب محلی.

Determination of Critical Slip Surface in Earth Slopes Using Alternating Variable Local Gradient

M. Hajiazizi

F. Heydari

Abstract To find the critical slip surface is one of the most important steps in this analysis. The shape of slip surface in many analyses is circular which convenience for calculating is. Optimization methods are one of the methods to find critical slip surface. In this paper is presented a new method to find critical slip surface and minimum factor of safety using DOSS program. DOSS program is written by authors in FORTRAN and can find critical circular slip surface by using grid search and critical line segments slip surface by using optimization method. This program is applicable for homogeneous and non-homogeneous materials with water level. The examples prove the efficiency and precision of the suggested method.

Key Words Stability Analysis, Limit Equilibrium, Earth Slope, Critical Slip Surface, Alternating Variable Local Gradient.

* تاریخ دریافت مقاله ۹۴/۱/۳۱ و تاریخ پذیرش آن ۹۵/۵/۱۵ می‌باشد.

Email: mhazizi@razi.ac.ir

(۱) نویسنده مسئول: دانشیار، گروه عمران، دانشکده مهندسی، دانشگاه رازی، کرمانشاه.

(۲) دانش‌آموخته کارشناسی ارشد، دانشکده مهندسی، دانشگاه رازی، کرمانشاه.

مقدمه

تحلیل پایداری شیب‌های خاکی یکی از مسائل اساسی و مهم در علم مکانیک خاک است. یکی از پرکاربردترین روش‌های تحلیل پایداری شیب‌های خاکی، روش حدی است. این روش به دو گروه عمده تعادل حدی و تحلیل حدی تقسیم می‌شود. روش تعادل حدی یکی از متداول‌ترین روش‌ها در تحلیل پایداری شیب‌های خاکی است که مقدار ضریب اطمینان را برای سطح لغزش معینی به دست می‌آورد. یافتن سطح لغزش بحرانی در شیب‌های خاکی و محاسبه ضریب اطمینان نظیر آن، دو مفهوم اساسی در تحلیل پایداری شیب‌های خاکی است. تعیین بحرانی‌ترین سطح لغزش از این جهت حائز اهمیت است که محاسبه ضریب اطمینان کمینه در این سطح لغزش انجام می‌شود که معمولاً هدف انجام تحلیل پایداری است. یکی از مراحل مهم در تحلیل پایداری شیب‌های خاکی، یافتن سطح لغزشی است که دارای کمترین ضریب اطمینان باشد. شکل این سطح که به سطح لغزش بحرانی موسوم است در بسیاری از روش‌ها به شکل دایره‌ای است که دلیل عمده آن ایجاد سهولت در انجام محاسبات است. سطوح لغزش دایره‌ای تنها دارای ۳ پارامتر طراحی می‌باشند، به همین دلیل بهینه کردن سطوح لغزش دایره‌ای به مراتب مشکلات کمتری دارد. مطالعاتی که تاکنون با موضوع تحلیل پایداری شیب‌های خاکی و یافتن سطح لغزش بحرانی انجام شده است، به تدریج تکامل بیشتری یافته است و تلاش دارد با حذف محدودیت‌ها و فاصله گرفتن از فرضیات ساده‌کننده از قبیل در نظر گرفتن سطح لغزش دایره‌ای، با رویکردی واقع‌گرایانه، سطح لغزش بحرانی غیردایره‌ای (پاره‌خطی) را ارائه کند که انطباق بیشتری با رفتار شیب‌های خاکی در طبیعت دارد. روش‌های مبتنی بر مفهوم بهینه‌سازی برای تعیین سطح لغزش بحرانی به دلیل کارایی و دقتی که دارند بیش از سایر روش‌ها و به طور گسترده‌ای در تحلیل پایداری شیب‌های خاکی به کار رفته‌اند [1]. نخستین تحقیقات در

زمینه پیدا کردن بحرانی‌ترین سطح لغزش شیروانی‌های خاکی توسط فلنیوس [2] انجام شده است که بر اساس آن یک روش ساده برای تعیین بحرانی‌ترین سطح لغزش پیشنهاد شده است. هم‌چنین استفاده از روش‌های بهینه‌سازی در مسائل پایداری شیب‌های خاکی، توسط بیکر [3] مورد مطالعه قرار گرفت. او یک روش کاربردی با استفاده از برنامه‌ریزی دینامیکی در محاسبات پایداری شیروانی ارائه داد. به منظور تعیین سطح گسیختگی بحرانی در حالت دوبعدی، روش تغییرات متناوب توسط سلستینو و دانکن [4]، لی و وایت [5]، فخمی و همکارانش [6] و روش مونت کارلو توسط ملکاوی و همکارانش [7] مورد استفاده قرار گرفته‌اند. آرای و تاگی یو [8] نیز با استفاده از روش گرادیان مزدوج راه‌حلی برای تعیین بحرانی‌ترین سطح لغزش غیردایره‌ای پیشنهاد کردند. در این روش ابتدا شیروانی مورد نظر به تعدادی قطعات با عرض کوچک تقسیم می‌شود؛ و گره‌های سطح لغزش تنها می‌توانند در جهت محور عمودی حرکت داشته باشند و مختصات تمام گره‌ها در جهت محور افق همواره ثابت است. این محدودیت نیز احتمال یافتن ضریب اطمینان‌های بهتر را کاهش می‌دهد. به همین علت آرای و تاگی یو [8] در مثالی که برای یک محیط ناهمگن سه‌لایه‌ای مورد بررسی قرار دادند، نتوانستند ضریب اطمینانی بهتر نسبت به بحرانی‌ترین سطح لغزش دایره‌ای به دست آورند. با توجه به این که تابع ضریب اطمینان تابع یکنوایی نیست، پیدا کردن کمترین مقدار ممکن برای ضریب اطمینان در روش‌های مذکور، به سختی حاصل می‌شود. زیرا ضریب اطمینان در دام حداقل‌های محلی (Local Minimum) می‌افتد که مقدار آن از کمترین مقدار ضریب اطمینان بیشتر است. تعیین سطح لغزش بحرانی برای شیب‌های مسلح [9]، تعیین سطح لغزش بحرانی با استفاده از روش الگوریتم ابتکاری [10]، الگوریتم زیستی [11]، کاهش مقاومت برشی [12] و اثر ایجاد سطح لغزش دایره‌ای بر سطح لغزش

به‌عنوان سطح لغزش بحرانی انتخاب نماید. هر سطح گسیختگی دایره‌ای سه پارامتر کنترل دارد که شامل محدوده شروع سطح لغزش، محدوده انتهایی سطح لغزش و محدوده مرکز شعاع لغزش جهت ترسیم دوایر سطح لغزش می‌شوند (شکل ۱).

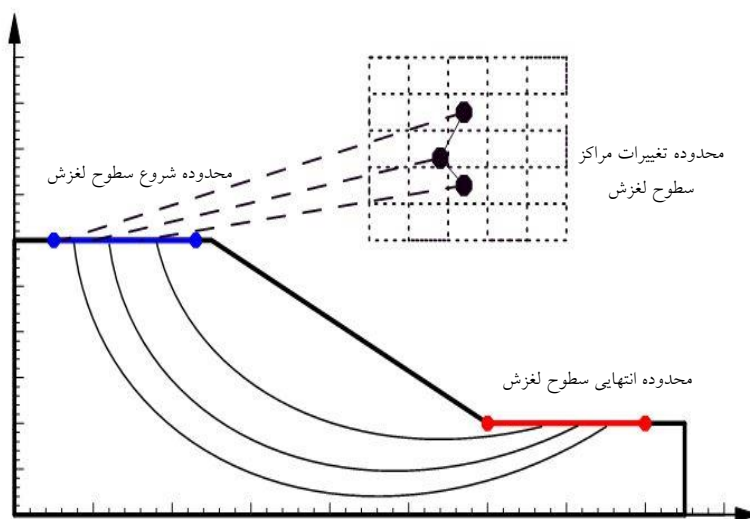
این پارامترهای کنترل به‌عنوان ورودی‌های ترسیم دوایر سطوح لغزش تعریف می‌شوند. سپس برای هر سطح لغزش ایجادشده، مقدار ضریب اطمینان توسط رابطه تعادل حدی جانبو [14] و یا اسپنسر [15] به دل‌خواه کاربر به‌دست می‌آید. سطح لغزشی که کمترین مقدار ضریب اطمینان را دارد سطح لغزش بحرانی نامیده می‌شود. برخلاف نظر بعضی از محققان که شعاع دوایر لغزش را به‌عنوان یکی از متغیرهای اصلی تعریف می‌نمایند، برای تسریع در روند هم‌گرایی و کاهش زمان، متغیرهای دیگری هم‌چون مختصات نقطه شروع و انتهای سطح لغزش (که محدوده آن را هندسه شیروانی معین می‌کند) تعریف گردیده‌است. در نتیجه از محاسبات اولیه و اضافی برای دوایری که هندسه شیروانی را غیر از ابتدا و انتهای سطح لغزش، قطع می‌کنند احتراز می‌گردد. حل چند مثال و مقایسه نتایج آن با دیگر محققان قابلیت برنامه DOSS را برای تعیین بحرانی‌ترین سطح لغزش دایره‌ای نشان داده‌است.

بحرانی [13] مواردی است که امروزه مورد توجه محققان مختلف در جهت توسعه تعیین سطح بحرانی قرار گرفته‌است.

هدف از این مقاله، تحلیل پایداری شیب‌های خاکی و ارائه روشی نو برای بهینه‌سازی سطح لغزش غیردایره‌ای (پاره‌خطی) است. در این روش ابتدا بحرانی‌ترین سطح لغزش دایره‌ای تعیین می‌گردد، سپس به تعداد مناسبی گره روی سطح لغزش بحرانی دایره‌ای انتخاب می‌شود و با اتصال آن‌ها به یکدیگر، سطح لغزش غیردایره‌ای (پاره‌خطی) حاصل می‌شود. آن‌گاه سطح لغزش غیردایره‌ای با استفاده از روش بهینه‌سازی گرادیان محلی، بهینه می‌شود تا بحرانی‌ترین سطح لغزش و کمترین مقدار ضریب اطمینان برای شیب خاکی به‌دست آید. مراحل ذکرشده در برنامه‌ای به نام DOSS و به زبان فرترن نوشته شده‌است. این برنامه برای تمام محیط‌های همگن و ناهمگن با فشار آب منفذی قابل کاربرد است.

تعیین سطح لغزش بحرانی

برنامه‌های متداولی وجود دارد که قادرند، تعداد زیادی سطح لغزش دایره‌ای ترسیم نماید و از بین آنها سطح لغزشی که کمترین مقدار ضریب اطمینان را دارد



شکل ۱ تقسیم‌بندی محدوده مراکز سطوح لغزش و محدوده شروع و انتهای سطوح لغزش شیروانی

تعیین سطح لغزش بحرانی غیردایره‌ای (پاره‌خطی)

در میان روش‌های مختلف برای تعیین سطح لغزش بحرانی، روش‌های مبتنی بر بهینه‌سازی، روش‌های موثری برای یافتن سطح لغزش بحرانی هستند. این موضوع از مسائل دشوار و پیچیده بهینه‌سازی محسوب می‌شود و حل آن حتی با روش‌های کلاسیک بهینه‌سازی میسر نمی‌باشد. در چند دهه اخیر، روش‌های نوین بهینه‌سازی غیرخطی پا به عرصه حل مسائل نهاده‌اند، اما تنها تعداد کمی از این روش‌ها تاکنون در حل مسائل ژئوتکنیک، مانند تعیین سطح لغزش بحرانی، مورد استفاده قرار گرفته‌اند؛ اما باید این نکته را نیز یاد آور شد که یافتن سطح لغزش بحرانی در شیروانی‌های خاکی دارای مشکل «حداقل‌های محلی» است؛ بدین معنی که در روند یافتن سطح لغزش بحرانی، ممکن است روند بهینه‌یابی گرفتار حداقل‌های محلی شود و نتواند بحرانی‌ترین مکان را برای سطح لغزش پیدا کند. در این مقاله از روش گرادیان محلی برای یافتن بحرانی‌ترین سطح لغزش در شیب‌های خاکی استفاده می‌شود. روش گرادیان محلی یکی از روش‌های غیرخطی در بهینه‌سازی توابع است که در بخش بعد توضیح داده خواهد شد. مزیت عمده این روش این است که به سادگی از بسیاری از حداقل‌های محلی رها می‌شود. فرآیند کار برای یافتن سطح لغزش بحرانی غیردایره‌ای با استفاده از روش بهینه‌سازی غیرخطی بدین ترتیب است که ابتدا سطح لغزش بحرانی دایره‌ای به دست می‌آید، سپس سطح لغزش اولیه غیردایره‌ای (پاره‌خطی) منطبق بر سطح لغزش دایره‌ای بحرانی منطبق می‌گردد، آن‌گاه آن سطح لغزش با استفاده از روش بهینه‌سازی گرادیان محلی بهینه می‌شود تا بحرانی‌ترین سطح لغزش غیردایره‌ای (پاره‌خطی) حاصل شود. در واقع فرآیند بهینه‌سازی قادر است، سطح گسیختگی انتخاب شده اولیه را به سطح گسیختگی غیردایره‌ای، که انطباق بیشتری با رفتار شیب‌های خاکی در طبیعت دارد، تبدیل کند. روش مورد استفاده قابلیت استفاده برای تمام محیط‌های همگن و ناهمگن و خاک

با فشار آب منفذی را دارد. در ادامه با حل چند مثال قابلیت و کارایی روش پیشنهادی در یافتن سطح لغزش بحرانی غیردایره‌ای با استفاده از روش بهینه‌سازی گرادیان محلی نشان داده می‌شود. نتایج حاصل از روش مذکور توسط سایر برنامه‌های موجود مقایسه شده است که تطابق خوبی با یکدیگر دارند.

روش گرادیان محلی

روش گرادیان محلی براساس روش تک‌متغیره [16] است. در روش تک‌متغیره تنها یک متغیر در زمان واحد تغییر داده می‌شود و به دنبال آن یک مرحله بهبود به سمت حداقل ایجاد می‌شود؛ یعنی با شروع از یک نقطه آغازین (X_i) در i امین تکرار، مقدار $n-1$ متغیر ثابت نگه داشته می‌شود و متغیر مورد نظر تغییر می‌کند. بنابراین، انجام بهینه‌سازی با روش بیشترین شیب محلی مستلزم تعریف نقاط یا گره‌هایی به عنوان نقاط یا گره‌های کنترل است که متغیر مسئله می‌باشند. از این‌رو بر روی سطح لغزش اولیه، n نقطه به عنوان نقاط کنترل به گونه‌ای انتخاب می‌شوند که سطح لغزش اولیه را با پاره‌خط‌های تخمین بزنند، به طوری که پاره‌خط‌های حاصل در بردارنده خصوصیات هندسی سطح لغزش اولیه باشد. این نقاط در واقع نماینده سطح لغزش برای شرکت در فرآیند بهینه‌سازی‌اند و تغییر در مختصات این نقاط و قرارگیری آنها در محل‌های جدید باعث تغییر در هندسه سطح لغزش و ایجاد یک سطح لغزش نامنظم جدید می‌شود. هدف نهایی در این تحقیق یافتن مختصات جدید گره‌های کنترل به نحوی است که سطح لغزش تغییر کند در اثر جابه‌جایی این گره‌ها ضریب اطمینان کوچک‌تری نسبت به سطح لغزش اولیه داشته‌باشد. روش گرادیان محلی، سطح لغزش بحرانی غیردایره‌ای را با جابه‌جایی گره‌های واقع بر سطح لغزش بحرانی دایره‌ای (اولیه) به بهترین موقعیت، به دست می‌آورد. براساس روش تک‌متغیره، بهترین موقعیت هر گره در جهت خلاف گرادیان آن گره است. در واقع با حرکت مناسب گره‌ها تابع هدف که ضریب اطمینان است کمینه می‌گردد. در این روش $n-1$ گره (متغیر)

$$FS = \frac{1}{\sum_{i=1}^n W_i \tan \alpha_i}$$

$$\sum_{i=1}^n \left\{ c \Delta x + (W_i - u_i \Delta x_i) \tan \varphi_i \right\} \left\{ \frac{\sec^2 \alpha_i}{1 + \tan \alpha_i \frac{\tan \varphi_i}{FS}} \right\} F_f$$

$$= \frac{\sum \{(c' - u \tan \varphi') \sec \alpha_i \Delta x + W[(\sec \alpha_i - \tan \delta \sin \alpha_i)]\}}{\sum W \tan \alpha_i}$$

$$\frac{\tan \varphi' + F_f \tan \delta \tan^2 \alpha_i / J}{\sum W \tan \alpha_i} / m_\alpha \quad (2)$$

و رابطه تعادل حدی اسپنسر [15] به صورت زیر می باشد:

$$F_f = \frac{\sum \{(c' - u \tan \varphi) \sec \alpha_i \Delta x + W[(\sec \alpha_i - \tan \delta \sin \alpha_i) \tan \varphi' + F_f \tan \delta \tan^2 \alpha_i / J]\}}{\sum W \tan \alpha_i}$$

$$\frac{F_f \tan \delta \tan^2 \alpha_i / J}{\sum W \tan \alpha_i} \quad (3)$$

$$F_m = \frac{\sum R \{(c' - u \tan \varphi') \sec \alpha_i \Delta x \sin(\delta + \theta) / \cos \delta + W \cos(\theta + \alpha_i) [\tan \varphi' \tan(\theta + \alpha_i) + F_m \sec \alpha_i / J]\} / m_a}{\sum W R \cos \theta}$$

$$\quad (4)$$

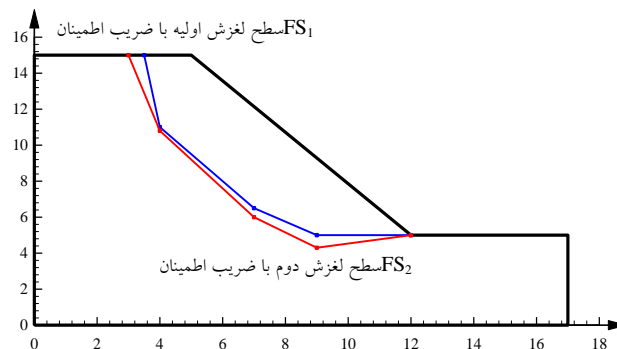
که در آن:

$$J = (1 + \tan^2 \alpha_i)^{\frac{1}{2}} \quad (5)$$

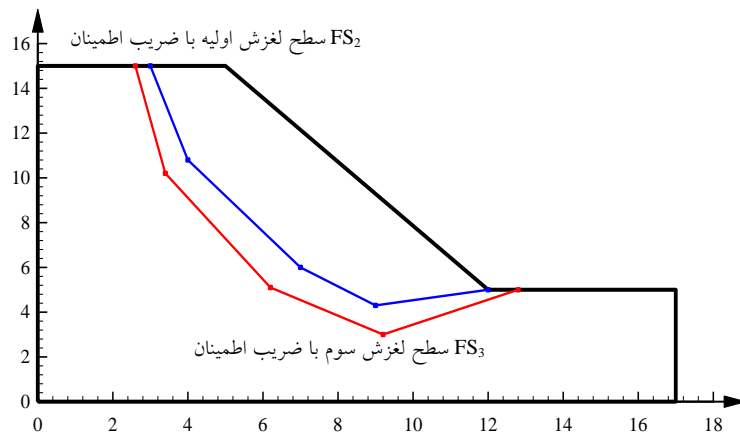
ثابت است و گره باقی مانده در جهت خلاف گرادیان تغییر می کند تا مقدار ضریب اطمینان کمتر شود. این فرآیند برای دیگر گره ها نیز ادامه می یابد. بعد از این که تمام n گره (متغیر) به ترتیب بهینه گردید اولین سیکل کامل می شود. سپس سیکل دوم به همان ترتیب سیکل اول شروع می شود و این روند تا زمانی که اختلاف بین دو سیکل آخر به حداقل برسد ادامه می یابد. مفهوم سیکل در شکل های (۲) و (۳) توضیح داده شده است. شکل (۲) پایان سیکل اول را نشان می دهد که تمام گره ها روی سطح لغزش اولیه با ضریب اطمینان FS_1 بهینه شده اند و سطح لغزش دوم با ضریب اطمینان $FS_2 < FS_1$ سیکل دوم را نشان می دهد که تمام نقاط روی سطح لغزش دوم بهینه شده اند و سطح لغزش سوم با ضریب اطمینان $FS_3 < FS_2$ به دست آمده است که حرکت هر گره به منظور کاهش مقدار ضریب اطمینان باید در جهت منفی بردار گرادیان آن گره باشد. بنابراین حرکت گره ها در جهت منفی بردار گرادیان محلی منجر به بهینه سازی تابع هدف (ضریب اطمینان) می گردد. گرادیان منفی تابع FS به صورت رابطه (۱) است:

$$S_i = -G_i = -\left\{ \frac{\partial FS}{\partial x_1}, \frac{\partial FS}{\partial y_1}, \dots, \frac{\partial FS}{\partial x_n}, \frac{\partial FS}{\partial y_n} \right\} \quad (1)$$

که در آن FS رابطه ضریب اطمینان به روش تعادل حدی است. رابطه تعادل حدی جانبو [14] به صورت زیر است:



شکل ۲ سیکل اول، همه گره های سطح لغزش اولیه با FS_1 بهینه شده اند و سطح لغزش دوم با FS_2 حاصل شده است که $FS_2 < FS_1$



شکل ۳ سیکل دوم، پایان بهینه سازی تمام نقاط روی سطح لغزش $FS_3 < FS_2$

لغزش به دست خواهد آمد. البته کلیه موارد گفته شده برای حالتی است که سطح لغزش اولیه توسط کاربر تعریف گردد و در صورتی که سطح لغزش اولیه به صورت اتوماتیک در روند تحلیل به دست آید نیازی به انجام روند فوق نیست و سطح لغزش بهینه پاره خطی (غیردایره‌ای) به صورت اتوماتیک به دست خواهد آمد. فرآیند روش تک‌متغیره به صورت زیر است [16]:

(الف) انتخاب یک نقطه اختیاری X_i و در نظر گرفتن $i=1$
(ب) یافتن مسیر جستجوی S_i

$$S_i^T = \begin{cases} (1,0,0, \dots, 0) & i = 1, n+1, 2n+1, \dots \\ (0,1,0, \dots, 0) & i = 2, n+2, 2n+2, \dots \\ (0,0,1, \dots, 0) & i = 3, n+3, 2n+3, \dots \\ \vdots & \vdots \\ (0,0,0, \dots, 1) & i = n, 2n, 3n, \dots \end{cases} \quad (8)$$

(ج) یافتن طول گام بهینه λ_i^* به طوری که:

$$f = (X_i \pm \lambda_i^* S_i) = \min(X_i \pm \lambda_i S_i) \quad (9)$$

علامت - یا + با توجه به کاهش مقدار تابع در نظر گرفته خواهد شد.

(د) با توجه به مسیر کاهش تابع، مقدار جدید به صورت زیر تعیین می‌گردد،

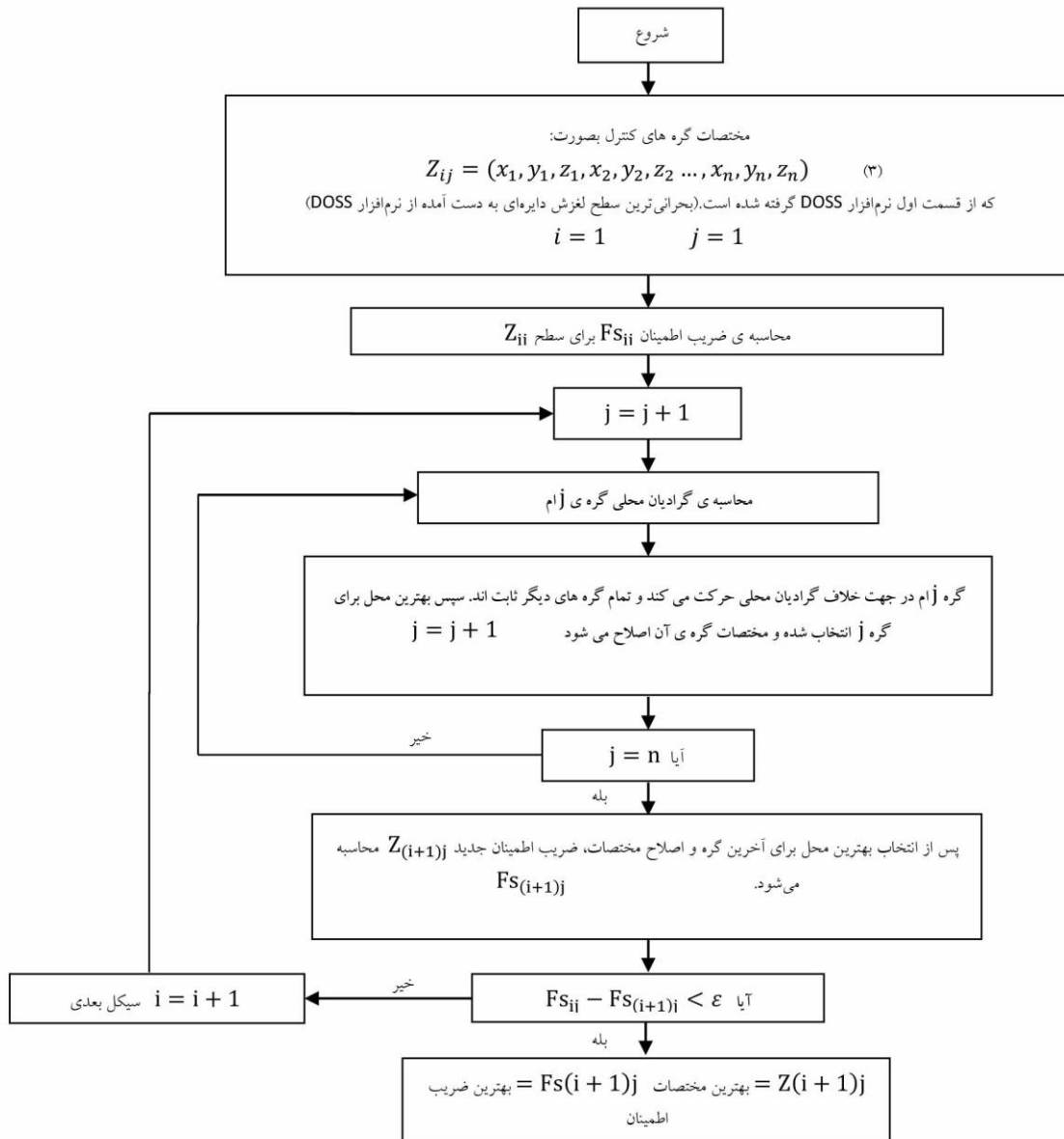
$$X_{i+1} = X_i \pm \lambda_i^* S_i \quad (10)$$

(ه) در نظر گرفتن $i = i+1$ و تکرار گام‌ها از گام (ب). فرآیند فوق آنقدر تکرار می‌گردد تا اختلاف مقدار تابع هدف در مرحله آخر مقدار ناچیزی گردد.

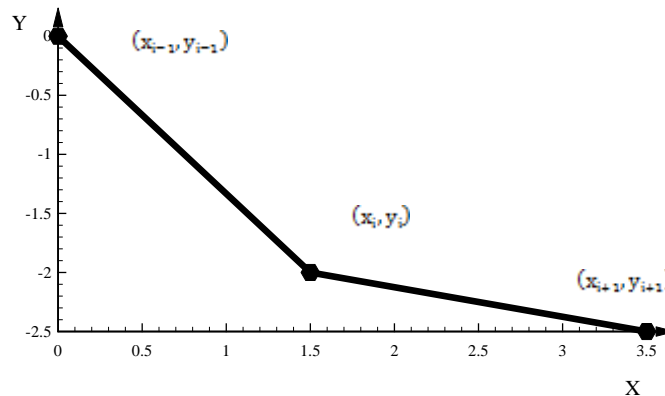
$$m_\alpha = \frac{(1 + \tan \delta \tan \alpha_i)}{J} + (\sin \alpha_i - \tan \delta \tan \alpha_i) \tan \phi / F \quad (6)$$

$$\delta = \tan^{-1}(\lambda) \quad (7)$$

روند کلی بهینه‌سازی به روش گرادیان محلی در شکل (۴) نشان داده شده است. قابل ذکر است که در حرکت هر گره به مکان بهینه جدید، جنبشی بودن سطح لغزش باید در نظر گرفته شود، در غیر این صورت مکان جدید نمی‌تواند به عنوان مکان بهینه انتخاب گردد. طی فرآیند بهینه‌سازی برای هر گره، گره‌های ماقبل و مابعد آن گره می‌توانند به عنوان کنترل‌کننده‌های جنبشی بودن سطح لغزش عمل کنند [1]. این مطلب را می‌توان در شکل (۵) مشاهده کرد. برای استفاده از روش گرادیان محلی برای بهینه‌سازی سطح لغزش، توجه به دو نکته حائز اهمیت است: ۱. در صورتی که تعداد گره‌های انتخابی بر روی سطح لغزش اولیه خیلی زیاد باشد، سطح لغزش انعطاف‌پذیری کافی برای بهینه شدن را نخواهد داشت. ۲. اگر تعداد گره‌های انتخابی بر روی سطح لغزش اولیه کم باشد، مقدار ضریب اطمینان به دست آمده از دقت کافی برخوردار نخواهد شد در حالی که سطح لغزش، انعطاف‌پذیری کافی برای بهینه شدن را خواهد داشت. بنابراین توصیه می‌شود که ابتدا یک سطح لغزش اولیه با تعداد گره‌های کم و سپس سطح لغزش بهینه به دست آمده با تعداد گره‌های بیشتری برای بهینه‌سازی به عنوان سطح لغزش اولیه معرفی گردد. با چندین بار تکرار این عمل، بهینه‌ترین سطح



شکل ۴ الگوریتم بهینه سازی به روش گرادینان محلی



شکل ۵ کنترل نقاط سطح لغزش جهت جنبشی بودن

فرآیند بیشترین شیب محلی

به‌طور خلاصه روش بیشترین شیب محلی، برای یافتن بحرانی‌ترین سطح لغزش غیردایره‌ای را می‌توان به صورت زیر بیان کرد:

۱. پیدا کردن سطح لغزش بحرانی دایره‌ای با استفاده از روش جستجوی شبکه‌ای و یا هر روش دیگر به عنوان سطح لغزش اولیه.

۲. انتخاب گره‌های مناسب روی سطح لغزش اولیه و اتصال آنها به یکدیگر (تعداد گره‌های انتخابی نقش مهمی در روند بهینه‌سازی دارند. توصیه می‌شود که در لایه‌های ضعیف مربوط به محیط‌های غیرهمگن، تعداد گره‌های بیشتری انتخاب شود).

مختصات اولیه گره‌های انتخابی روی سطح لغزش در جهت انجام فرآیند بهینه‌سازی:

$$Z_1 = (x_1, y_1, x_2, y_2, \dots, x_n, y_n)$$

۳. یافتن بهترین موقعیت برای اولین گره واقع بر مرز شیب.

مختصات جدید نقاط پس از بهینه‌سازی گره اول:

$$Z_1 = (x_1^*, y_1^*, x_2, y_2, \dots, x_n, y_n)$$

۴. یافتن بهترین موقعیت برای اولین گره داخلی سطح لغزش و ثابت ماندن بقیه گره‌ها به طوری که سطح لغزش جدید، ضریب اطمینان کمتری دارد. بهترین موقعیت هر گره داخلی با حرکت آن در جهت خلاف گرادیان محلی به دست می‌آید.

۵. یافتن بهترین موقعیت برای دومین گره داخلی سطح لغزش و ثابت ماندن بقیه گره‌ها به طوری که سطح لغزش جدید ضریب اطمینان کمتری دارد.

۶. یافتن بهترین موقعیت برای گره بعدی داخلی به طوری که بقیه گره‌ها در جای خود ثابت هستند. این روند برای کلیه گره‌های داخلی تکرار می‌شود.

۷. یافتن بهترین موقعیت برای آخرین گره واقع بر مرز شیب. در این مرحله اولین سیکل بهینه‌یابی به اتمام

می‌رسد و مختصات جدید سطح لغزش به صورت زیر است.

مختصات گره‌ها پس از پایان سیکل بهینه‌سازی:

$$Z_{i+1}^* = (x_1^*, y_1^*, x_2^*, y_2^*, \dots, x_{n-1}^*, y_{n-1}^*, x_n^*, y_n^*)$$

۸. گام‌های ۳ تا ۷ تکرار می‌شود تا این که اختلاف مقدار آخرین ضریب اطمینان و ماقبل آن کمتر از ϵ باشد.

مقدار ضریب اطمینان در سیکل بهینه‌یابی $Fs(Z_{i+1}^*)$ = آخر.

مقدار ضریب اطمینان در سیکل بهینه‌یابی $Fs(Z_i^*)$ = یکی به آخر.

آخرین مقدار ضریب اطمینان و سطح لغزش مربوط به آن به عنوان بحرانی‌ترین سطح لغزش معرفی می‌شود.

لازم به ذکر است که در انتقال هر گره به موقعیت بهینه جدید، باید جنبشی بودن سطح لغزش نیز در نظر گرفته شود، در غیر این صورت موقعیت جدید نمی‌تواند به عنوان مکان جدید سطح لغزش انتخاب شود.

معرفی برنامه DOSS

کلمه DOSS مخفف Determination of Optimal Slip Surface است که به معنای تعیین سطح لغزش بهینه است. این برنامه به زبان فرترن و توسط مؤلفان نوشته شده است، به طوری که قابلیت خوبی در ترسیم سطح لغزش و هندسه شیروانی دارد. یکی از مزیت‌های برنامه DOSS سادگی در داده‌های ورودی به آن است از جمله هندسه شیروانی، هندسه لایه‌ها (در حالت شیروانی ناهمگن) و پارامترهای مقاومتی خاک مربوط به هر لایه، تعیین سطح آب زیر زمینی و تعداد قطعات سطح لغزش. پس از وارد نمودن این اطلاعات تعداد زیادی سطح لغزش دایره‌ای و ضریب اطمینان مربوط به آنها به دست می‌آید که سطح لغزش مربوط به کمترین مقدار

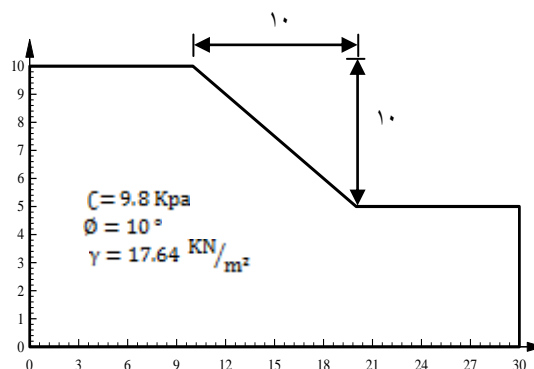
حاصل از خروجی برخی نرم افزارهای تجاری مطرح نیز خواهیم پرداخت. دو مثال اول و دوم توسط آرای و تاگی یو [8] به منظور به دست آوردن یک سطح لغزش غیردایره‌ای بررسی شده است. این مثال‌ها توسط یاماگامی و یوتا [18] نیز به منظور استفاده از روش‌های مختلف بهینه‌سازی مورد استفاده قرار گرفته است. هم‌چنین محققان دیگری [7,19-23] نیز از این دو مثال برای صحت‌سنجی کار خود استفاده کرده‌اند.

مثال ۱. هندسه و پارامترهای مقاومتی مربوط به این شیروانی همگن در شکل (۶) نشان داده شده است. در جدول (۱) نتایج به دست آمده از برنامه DOSS و مقایسه آن با دیگر نتایج مشاهده می‌گردد. شکل (۷) تحلیل انجام شده با نرم‌افزار SLOPEW [24] و مقدار ضریب اطمینان $1/247$ را نشان می‌دهد. ضریب اطمینان دایره‌ای بحرانی، حاصل از برنامه DOSS برابر با $1/244$ به دست آمده است که هم‌خوانی خوبی با برنامه SLOPEW دارد. قابل توجه است که استفاده از روش‌های مختلف تعادل حدی، موجب تفاوت در مقادیر ضریب اطمینان برای یک شیروانی یکسان شده است.

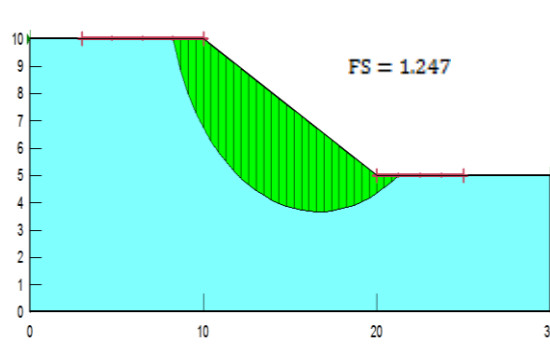
ضریب اطمینان به عنوان سطح لغزش بحرانی دایره‌ای مشخص می‌گردد. سپس مختصات این سطح لغزش به منظور بهینه‌سازی به روش گرادیان محلی مورد استفاده قرار می‌گیرد تا یک سطح لغزش بحرانی غیردایره‌ای که دارای ضریب اطمینان کمتر از سطح لغزش دایره‌ای بحرانی است به دست آید. البته برنامه DOSS این قابلیت را دارد که هر سطح لغزش دل‌خواهی را که توسط کاربر معرفی می‌شود، بهینه نماید. مبنای بهینه‌سازی برای یافتن سطح لغزش دایره‌ای روش جستجو است و مبنای بهینه‌سازی برای یافتن سطح لغزش غیردایره‌ای (پاره‌خطی) روش گرادیان محلی است. کلیه اشکال حاصل از نتایج مثال‌ها منتج از برنامه DOSS است که توسط برنامه DPlot [17] ترسیم شده است.

حل چند مثال

مثال‌های حل شده در این بخش تلاش دارند تا کارایی و دقت برنامه DOSS، و هم‌چنین روش بهینه‌یابی گرادیان محلی را برای تعیین بحرانی‌ترین سطح لغزش پاره‌خطی (غیردایره‌ای) نشان دهند. از این‌رو، ضمن مقایسه مثال‌های انجام شده با سایر محققان، به مقایسه نتایج



شکل ۶ هندسه و پارامترهای مقاومتی مثال اول



شکل ۷ ضریب اطمینان و سطح لغزش بحرانی دایره‌ای حاصل از نرم‌افزار SLOPEW برای مثال اول

جدول ۱ مقایسه نتایج به دست آمده از نرم‌افزار DOSS با نتایج سایر محققان و نرم‌افزار SLOPEW مربوط به مثال اول

مرجع	روش تعادل حدی	روش بهینه‌سازی	ضریب اطمینان
Yamagami and Ueta [18]	مورگنسترن-پرایس	BFGS	1.338
Yamagami and Ueta [18]	مورگنسترن-پرایس	DFP	1.338
Yamagami and Ueta [18]	مورگنسترن-پرایس	Powell	1.338
Yamagami and Ueta [18]	مورگنسترن-پرایس	Simplex	1.339-1.348
Greco [19]	مورگنسترن-پرایس	Monte Carlo	1.327-1.333
Malkawi et al. [7]	روش معمولی قطعات	Monte Carlo	1.238
Solati and Habibagahi [21]	جانپو	GA	1.380
Cheng et al. [20]	اسپنسر	PSO	1.3285
Cheng et al. [20]	اسپنسر	MPSO	1.3264
Jianping et al. [22]	مورگنسترن-پرایس	GA+Spline	1.321
Kahatadeniya and Nanakorn [23]	مورگنسترن-پرایس	ACO	1.311
SLOPEW Software [24]	جانپو	-	1.247
DOSS software (This Study)	جانپو	تکنیک جستجو (دایره‌ای)	1.243
DOSS software (This Study)	جانپو	روش گرادیان محلی (غیردایره‌ای)	1.186

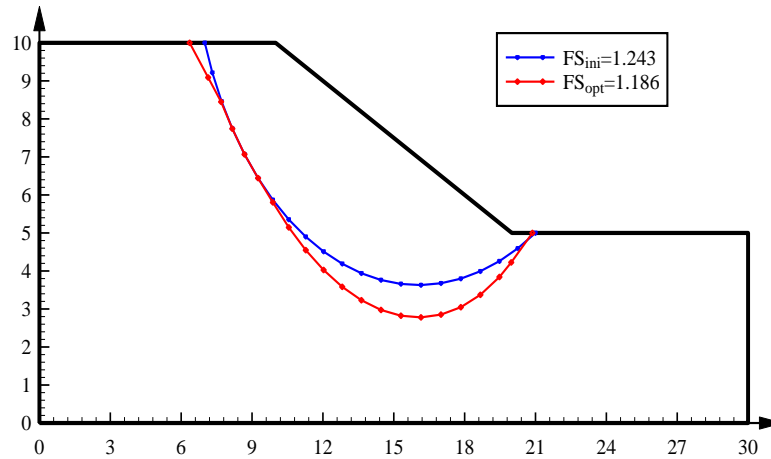
پاره‌خطی حاصل گردد. سطح لغزش بحرانی پاره‌خطی در شکل (۸) قابل مشاهده است که مقدار ضریب اطمینان آن برابر با ۱/۱۸۶ به دست آمده است.

مثال ۲. در این مثال، همان مثال ۱ که شامل سطح آب زیرزمینی نیز می‌باشد، بررسی می‌گردد (شکل ۹). این شیروانی توسط برنامه DOSS و برنامه SLOPEW تحلیل شده است که نتایج حاصل از آنها در جدول (۲)

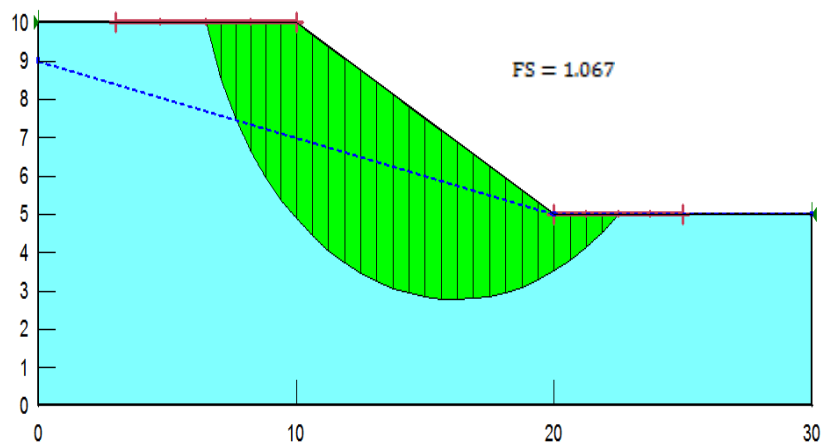
در شکل (۸) سطح لغزش بحرانی دایره‌ای و بحرانی غیردایره‌ای و ضریب اطمینان مربوط به آنها قابل مشاهده است که از برنامه DOSS حاصل شده‌اند. در برنامه DOSS سطح لغزش بحرانی دایره‌ای به عنوان سطح لغزش اولیه غیردایره‌ای (با اتصال گره‌های منطبق بر سطح لغزش دایره‌ای به یکدیگر) انتخاب می‌گردد. سپس با استفاده از روش گرادیان محلی، سطح لغزش اولیه بهینه می‌گردد تا بحرانی‌ترین سطح لغزش

آمده است. نتایج حاصل از برنامه DOSS هم خوانی خوبی با نتایج حاصل از SLOPEW دارد. برنامه SLOPEW مقدار ضریب اطمینان را برای بحرانی ترین حالت $1/0.67$ به دست آورده است (شکل ۹) و برنامه

برای بحرانی ترین سطح لغزش دایره ای مقدار $1/0.67$ به دست آورده است (شکل ۱۰) که هم خوانی خوبی با یکدیگر دارند.



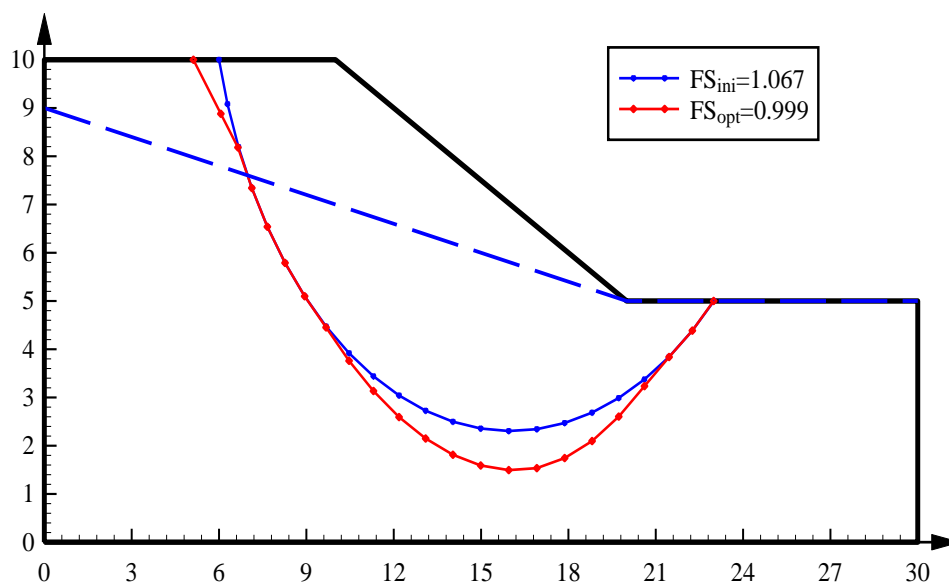
شکل ۸ ضرایب اطمینان و سطوح لغزش دایره ای بحرانی و غیردایره ای بحرانی حاصل از برنامه DOSS مربوط به مثال اول



شکل ۹ ضریب اطمینان و سطح لغزش به دست آمده از نرم افزار SLOPEW برای مثال دوم

جدول ۲ مقایسه نتایج به دست آمده از نرم افزار DOSS با نتیجه نرم افزار SLOPEW مربوط به مثال دوم

مرجع	روش تعادل حدی	روش بهینه سازی	ضریب اطمینان
SLOPEW Software [24]	جانبو	-	1.067
DOSS software	جانبو	روش جستجو (دایره ای)	1.067
DOSS software	جانبو	محلی (غیردایره ای) روش گردان	0.999

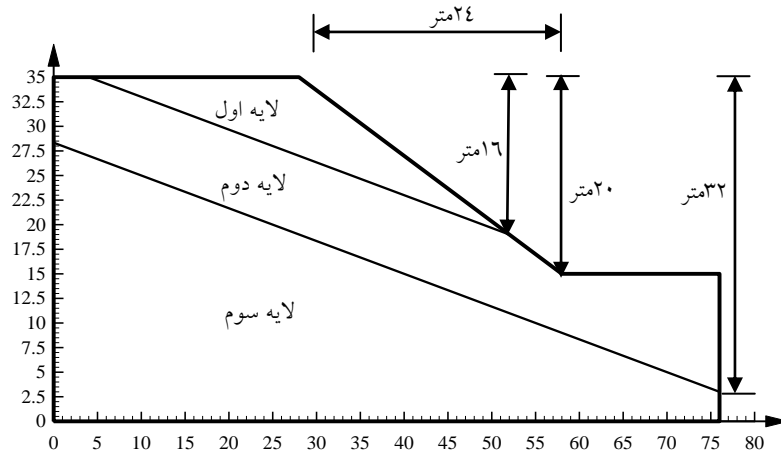


شکل ۱۰. ضرایب اطمینان و سطوح لغزش دایره‌ای بحرانی و غیردایره‌ای بحرانی به دست آمده از نرم افزار DOSS مربوط به مثال دوم

ضریب اطمینان کمتری به دست می‌آورند. به طوری که یک شیروانی در سطح لغزش دایره‌ای ضریب اطمینانی بیش از عدد ۱ دارد و پایدار است، اما در سطح لغزش پاره‌خطی، مقدار ضریب اطمینان کمتر از عدد ۱ است و ناپایدار است.

مثال ۳. شکل (۱۱) یک شیروانی ناهمگن با سه لایه خاک را نشان می‌دهد که در آن لایه میانی یک لایه ضعیف است که بین دو لایه مقاوم‌تر قرار گرفته است. پارامترهای مقاومتی لایه‌ها در جدول (۳) قابل مشاهده است. این مثال توسط نرم‌افزار SLOPEW نیز تحلیل شده است که مدل‌سازی این تحلیل در شکل (۱۲) مشاهده می‌گردد. این مثال توسط مراجع [7, 8, 19, 20, 25] دیگر نیز تحلیل و بررسی شده است که نتایج آنها همراه با نتایج SLOPEW و DOSS در جدول (۴) آورده شده است.

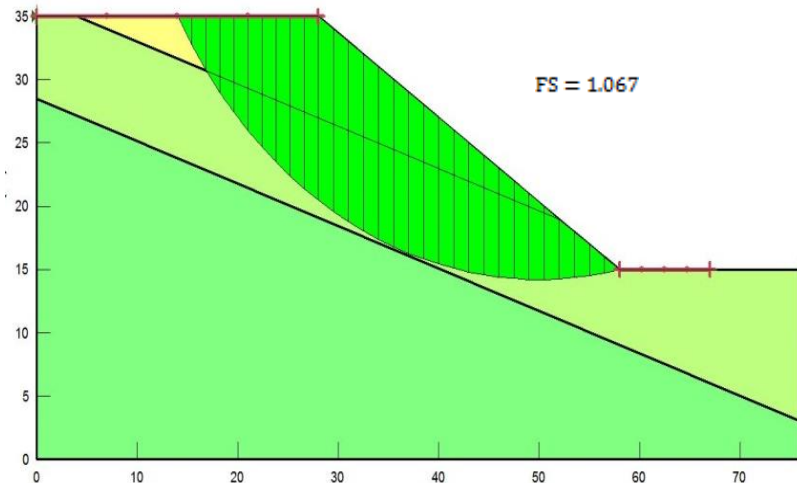
برنامه DOSS سطح لغزش اولیه غیردایره‌ای را (که منطبق بر سطح لغزش بحرانی دایره‌ای است) بهینه می‌کند و بحرانی‌ترین سطح لغزش پاره‌خطی را به دست می‌آورد که ضریب اطمینان آن برای شیب مورد نظر که دارای آب زیرزمینی است برابر با ۰/۹۹۹ شده است (شکل ۱۰). در شکل (۱۰) هندسه سطح لغزش دایره‌ای و غیردایره‌ای بحرانی و موقعیت تراز آب زیرزمینی، حاصل از برنامه DOSS قابل مشاهده است. در این مثال مشاهده می‌گردد که برنامه DOSS توانسته است سطح لغزش پاره‌خطی را که انطباق بیشتری با سطح لغزش واقعی در طبیعت دارد، پیدا نماید، به طوری که مقدار آن کمتر از عدد ۱ است و به معنای ناپایداری شیب است. حال آن که سطح لغزش دایره‌ای بحرانی مقادیر ضریب اطمینان را بیش از عدد ۱ می‌دهد که به معنای پایداری شیب است. در این مثال می‌توان اهمیت بررسی سطوح لغزش غیردایره‌ای را متوجه شد که بهتر خود را با واقعیت موجود در طبیعت تطبیق می‌نمایند و مقادیر



شکل ۱۱ هندسه شیروانی ناهمگن مربوط به مثال سوم

جدول ۳ پارامترهای مقاومتی شیروانی ناهمگن مربوط به مثال سوم

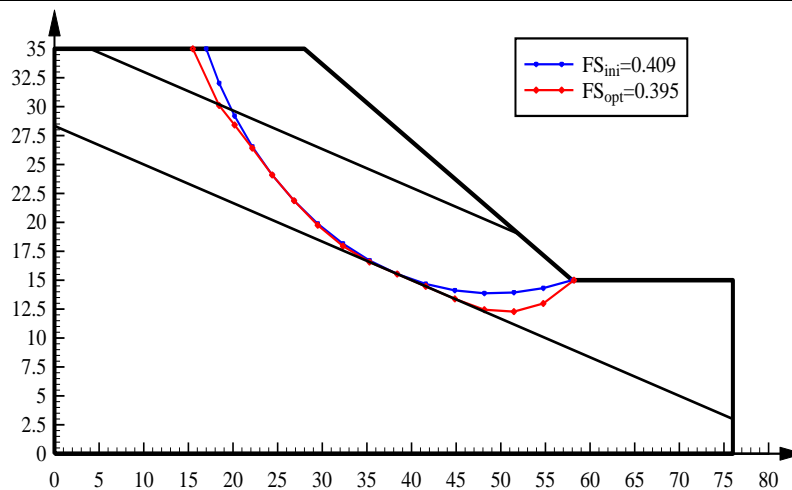
لایه	ضریب چسبندگی c (Kpa)	زاویه اصطکاک ϕ ($^\circ$)	وزن مخصوص γ (KN/m^3)
1	29.40	12	18.82
2	9.80	5	18.82
3	264.0	40	18.82



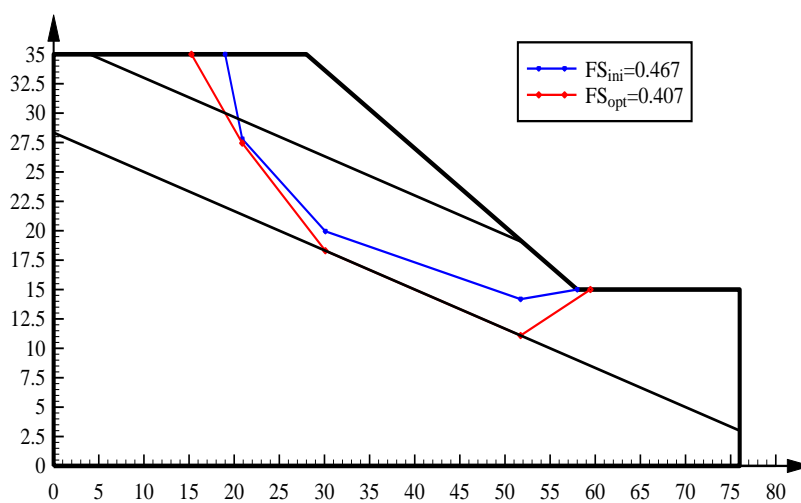
شکل ۱۲ ضریب اطمینان و سطح لغزش به دست آمده از نرم افزار SLOPEW برای مثال سوم

جدول ۴ مقایسه نتایج به دست آمده از نرم افزار DOSS با نتایج سایر محققان و نرم افزار SLOPEW مربوط به مثال سوم

مرجع	روش تعادل حدی	روش بهینه سازی	ضریب اطمینان
Arai and Tagyo [8]	جانبو	Conjugate gradient	0.405
Sridevi and Deep [25]	جانبو	RST-2	0.401
Greco [19]	جانبو	Monte Carlo	0.338
Malkawi et al. [7]	جانبو	Monte Carlo	0.401
Cheng et al. [20]	جانبو	PSO	0.3961
Cheng et al. [20]	جانبو	MPSO	0.3997
SLOPEW Software [24]	جانبو	-	0.411
DOSS software	جانبو	تکنیک جستجو (دایره‌ای)	0.409
DOSS software	جانبو	روش گرادیان محلی (غیردایره‌ای)	0.395



شکل ۱۳ ضرایب اطمینان و سطوح لغزش دایره‌ای بحرانی و غیردایره‌ای بحرانی به دست آمده از نرم افزار DOSS مربوط به مثال سوم



شکل ۱۴ ضرایب اطمینان و سطوح لغزش اولیه و غیردایره‌ای بحرانی به دست آمده از نرم افزار DOSS مربوط به مثال چهارم (گام اول)

اولیه در نظر گرفته می‌شود. مقدار ضریب اطمینان پس از بهینه‌سازی به مقدار $0/400$ کاهش می‌یابد. این روند دوباره تکرار گردیده‌است که در نهایت به مقدار ضریب اطمینان $0/395$ کاهش یافته‌است که تطابق خوبی با ضریب اطمینان به دست آمده در مثال (۲) دارد.

نتیجه‌گیری

مقایسه نتایج حاصل از روش گرادیان محلی با دیگر روش‌ها نشان می‌دهد که روش گرادیان محلی علاوه بر این که سطوح لغزش پاره‌خطی را به خوبی بهینه می‌کند، مقادیر ضریب اطمینان کمتری نیز به دست می‌آید. قابل ذکر است که سطوح لغزش پاره‌خطی انطباق بهتری با سطوح لغزش اتفاق افتاده در طبیعت دارند. در این مقاله یک برنامه کاربردی به نام DOSS معرفی شده‌است که بر خلاف اغلب برنامه‌ها که تنها سطح لغزش دایره بحرانی را به دست می‌آورند، سطح لغزش پاره‌خطی بحرانی را هم به دست می‌آورد. نتایج حاصل از این برنامه که با نتایج دیگر محققان و برنامه SLOPEW مقایسه شده‌است، تطابق خوبی دارد و توانسته‌است در سطح لغزش پاره‌خطی بحرانی نتایج بهتری بدهد. توصیه می‌شود که ابتدا تعداد نقاط انتخابی بر سطح لغزش بحرانی دایره‌ای کم باشد تا سطح لغزش بحرانی پاره‌خطی حاصل شود. سپس تعداد نقاط انتخابی بر سطح لغزش پاره‌خطی بحرانی بیشتر شود و دوباره بهینه‌یابی شود تا سطح لغزش بحرانی پاره‌خطی بهتری که مقدار ضریب اطمینان کمتری دارد، حاصل شود. جنبشی بودن سطح لغزش در هر مرحله کنترل می‌شود تا انطباق بهتری با سطح لغزش طبیعی داشته باشد. در هر حال یافتن سطوح لغزشی که انطباق بیشتری با سطح لغزش طبیعی داشته باشند هدف تحلیل پایداری شیب‌های خاکی در این مقاله است.

ضرایب اطمینان به دست آمده از DOSS برای حالت سطح لغزش دایره‌ای و غیردایره‌ای بحرانی با نتایج سایر محققان تطابق خوبی دارد. گریکو [19] با استفاده از روش مونت کارلو به ضریب اطمینان $0/338$ دست یافته‌است. ملکاوی و همکارانش [7] نیز روش مونت کارلو را به کار گرفتند و ضریب اطمینان $0/401$ را به دست آوردند. این در حالی بود که سطح لغزشی که ملکاوی و همکارانش [7] به دست آورده بودند خیلی به سطح لغزش به دست آمده توسط گریکو [19] نزدیک بود. مشخص نیست که چرا مقدار ضریب اطمینان گریکو [19] و ملکاوی و همکارانش [7] اختلاف دارند در حالی که شکل سطح لغزش آنها کاملاً بر یکدیگر منطبق هستند [20]. بنابراین ضریب اطمینان بهینه شده (غیردایره‌ای) به روش گرادیان محلی با استفاده از نرم افزار DOSS را می‌توان یکی از بهترین نتایج به دست آمده دانست. در شکل (۱۳) سطح لغزش دایره‌ای بحرانی و غیردایره‌ای بحرانی حاصل از نرم افزار DOSS نشان داده شده‌است.

مثال ۴. به منظور نشان دادن توانایی بهینه‌سازی نرم افزار DOSS، یک سطح لغزش کاملاً تصادفی با ضریب اطمینان اولیه $FS_{ini}=0/467$ به مثال دوم داده شد که بعد از بهینه‌سازی، مقدار ضریب اطمینان بهینه $FS_{opt}=0/407$ شده‌است که نزدیک به مقدار به دست آمده در مثال (۲) است (یعنی مقدار $0/395$). این اندک اختلاف نیز به دلیل تفاوت در تعداد قطعات انتخاب شده است که بر نتیجه به دست آمده از بهینه‌سازی تأثیر گذاشته‌است. همان طور که در شکل (۱۴) مشاهده می‌شود، سطح لغزش اولیه پاره‌خطی ضریب اطمینان $0/467$ دارد (رنگ آبی) که پس از بهینه‌سازی به مقدار $0/407$ کاهش یافته‌است (رنگ قرمز). دوباره این سطح لغزش با تعداد پاره‌خط‌های بیشتر به عنوان سطح لغزش

شعاع کمان سطح لغزش	R	فهرست علائم	علامت
گرادیان تابع	S_i	معرف	
فشار آب حفره‌ای در کف قطعه Δm	u_i	چسبندگی خاک	C
وزن قطعه Δm	W_i	ضریب اطمینان نسبت به تعادل نیرو	FS_f
مختصات گره‌های کنترل	Z_i	ضریب اطمینان نسبت به تعادل لنگر	FS_m
زاویه کف قطعه Δm نسبت به افق	α	ضریب اطمینان شیروانی	FS
زاویه اصطکاک داخلی خاک	φ	ضریب اطمینان متناظر با مختصات گره‌های	FS_i
وزن مخصوص خاک	γ	Z_i	
زاویه شعاع کمان سطح لغزش با افق	θ	ضریب اطمینان متناظر با سطح لغزش اولیه	FS_{ini}
نسبت بین نیروهای بین قطعه‌ای	λ	ضریب اطمینان متناظر با سطح لغزش	FS_{opt}
عرض المان Δm در جهت افق	Δx_i	بهینه شده (غیر دایره‌ای)	
مقداری بسیار کوچک (10^{-10})	ε	گرادیان تابع	G_i
		تعداد قطعات سطح لغزش	n

مراجع

- Hajiazizi, M. and Tavana, T., "Determining Three-Dimensional Non-Spherical Critical Slip Surface in Earth Slopes Using an Optimization Method", Eng. Geology, pp. 114-124, (2013).
- Fellenius, W., "Calculation of the Stability of Earth Dams", Transactions of the 2nd Congress on Large Dams, vol. 4, pp. 445-459, (1936).
- Baker, R., "Determination of the Critical Slip Surface in Slope Stability Computations", *International Journal for Numerical and Analytical Methods in Geomechanics*, Vol. 4, No. 4, pp. 333-359, (1980).
- Celestino, T. B., and Duncan, J. M., "Simplified Search for Non-Circular Slip Surfaces", Proceedings, *10th International Conference on Soil Mechanics and Foundation Engineering*, International Society for Soil Mechanics and Foundation Engineering, Stockholm, A.A. Balkema, Rotterdam, Holland, Vol. 3, pp 391-394, (1981).
- Li, K.S., White, W., "Rapid Evaluation of Thecritical Slip Surface in Slope Stability Problems", *International Journal for Numerical and Analytical Methods in Geomechanics*, No. 11, pp. 449-473, (1987).
- فخیمی، احمدعلی و حاجی عزیز، محمد و محرمی، حمید. «روش نوین در تعیین سطح لغزش بحرانی شیب‌های خاکی»، استقلال، سال ۱۸، شماره ۲، صص. ۹۷-۱۱۵. (۱۳۷۸).
- Malkawi, A. I. H., Hassan, W. F., and Sarma, S. K., "Global Search Method for Locating General Slip Surface Using Monte Carlo Techniques", *Journal of Geotechnical and Geoenvironmental*

- Engineering*, Vol. 127, pp. 688-698, (2001).
8. Arai, K., Tagyo, K., "Determination of Non-Circular Slip Surface Giving the Minimum Factor of Safety in Slope Stability Analysis", *Soils and Found, Tokyo*, No. 25(1), pp. 43-51, (1985).
 9. Khosravizadeh, M., Dehestani, M., Kalantary, F., "On the Seismic Stability and Critical Slip Surface of Reinforced Slopes", *Soil Dynamics and Earthquake Engineering*, No. 85, pp. 179-190, (2016).
 10. Kashani, A.R., Gandomi, A.H., Mousavi, M., "Imperialistic Competitive Algorithm: A Metaheuristic Algorithm for Locating the Critical Slip Surface in 2-Dimensional Soil Slopes", *Geoscience Frontiers*, No. 7(1), pp. 83-89, (2016).
 11. Gao, W., "Forecasting of Landslide Disasters Based on Bionics Algorithm (Part 1: Critical Slip Surface Searching)", *Computers and Geotechnics*, No. 61, pp. 370-377, (2014).
 12. Fu, W., Liao, Y., "Non-Linear Shear Strength Reduction Technique in Slope Stability Calculation", *Computers and Geotechnics*, No. 37(3), pp. 288-298, (2010).
 13. Kalatehjari R, Ali N, Kholghifard M., Hajihassani M., "The Effects of Method of Generating Circular Slip Surfaces on Determining the Critical Slip Surface by Particle Swarm Optimization", *Arab. J. Geosci.*, No. 14;7(4), pp. 1529–39, (2014).
 14. Janbu, N., "Slope Stability Computation", Embankment dam engineering Cassagrande volume. John Wiley, (1973).
 15. Spencer, E., "A Method of Analysis of the Stability of Embankments Assuming Parallel Inter-Slice Forces", *Géotechnique* 17, pp. 11–26, (1967).
 16. Rao, S.S., "Optimization Theory and Applications", 2nd, Chapter 5, Wiley Eastern Limited, (1984).
 17. DPlot Software Version 2.3.1.8, Graph Software For Scientists & Engineers, www.dplot.com, (2010).
 18. Yamagami, T., Ueta, Y., "Search for Noncircular Slip Surfaces by the Morgenstern–Price Method", *The 6th International Conference on Numerical Methods in Geomechanics*. Numerical Methods in Geomechanics (Innsbruck 1988). Balkema, Innsbruck, pp. 1335–1340, (1988).
 19. Greco, V.R. "Efficient Monte Carlo Technique for Locating Critical Slip Surface", *Journal of Geotechnical and Geoenvironmental Engineering*, No. 122 (7), pp. 517–525, (1996).
 20. Cheng, Y.M., Li, L., and Li, S.C. "Particle Swarm Optimization Algorithm for Location of Critical Non-Circular Failure Surface in Two Dimensional Slope Stability Analysis", *Computer and Geotech*, No. 34, pp. 92-103, (2007).
 21. Solati, S., Habibagahi, G. "A genetic Approach for Determining the Generalized Interslice Forces and the Critical Non-Circular Slip Surface", *Iranian Journal of Science and Technology*. Transaction B, Engineering, No. 30 (1), pp. 1–20, (2006).
 22. Jianping, S., Li, J., Liu, Q., "Search for Critical Slip Surface in Slope Stability Analysis by Spline-

- Based GA Method", *Journal of Geotechnical and Geoenvironmental Engineering*, No. 134 (2), pp. 252–256, (2008).
23. Kahatadeniya, K.S., Nanakorn, P., Neaupane, K.M., "Determination of the Critical Failure Surface for Slope Stability Analysis Using Ant Colony Optimization", *Engineering Geology*, No. 108, pp. 133–141, (2009).
24. "Geo-Slope International", SLOPE/W 2007, Alberta, Canada, (2007).
25. Sridevi, B., Deep, K., "Application of Global Optimization Technique to Slope Stability Analysis", *Proceeding of 6th international symposium on landslides*, pp. 573–8, (1991).